

## آفمین تراوایی و تخلخل مؤثر و تعیین واحدهای جریان هیدرولیکی با استفاده از شبکه‌ی عصبی مصنوعی در میدان نفتی مارون

محمد آغاجریان<sup>\*</sup>، محمد رضا کمالی<sup>۱</sup>، علی گدفایی<sup>۲</sup> و صادق فتح‌الله<sup>۳</sup>

(۱) کارشناس ارشد گروه زمین‌شناسی دانشگاه آزاد اسلامی واحد علوم و تحقیقات تهران، [mohammad\\_aghajarian@yahoo.com](mailto:mohammad_aghajarian@yahoo.com)

(۲) دانشیار پژوهشگاه صنعت نفت

(۳) استادیار گروه زمین‌شناسی دانشگاه تبریز

(۴) کارشناس شرکت ملی مناطق نفت خیز جنوب

(\*) عهددار مکاتبات

دریافت: ۹۱/۲/۲۰؛ دریافت اصلاح شده: ۹۱/۵/۱۰؛ پذیرش: ۹۱/۶/۳۰؛ قابل دسترس در تاریخ: ۹۱/۱۲/۵

### پیش‌نیاز

تراوایی و تخلخل مؤثر از مهم‌ترین خصوصیات مخزن می‌باشد که می‌توانند به عنوان ورودی جهت ساخت مدل‌های پتروفیزیکی از مخزن مورد استفاده قرار گیرند. رابطه‌ی تخلخل و تراوایی در قالب واحدهای جریان هیدرولیکی در توصیف سنگ‌های مخازن ناهمگن استفاده می‌شود. شناسایی واحدهای جریان هیدرولیکی می‌تواند برای ارزیابی کیفیت مخزن براساس رابطه‌ی تخلخل-تراوایی مورد استفاده قرار گیرد. تخلخل و تراوایی به ترتیب با انجام آزمایش تزریق هلیم و هوا بر روی نمونه‌های مغزه اندازه‌گیری می‌شوند. علاوه بر روش‌های آزمایشگاهی، این دو پارامتر از روی نگار NMR گرفته شده از چاهها، و تراوایی از طریق چاه‌آزمایی نیز اندازه‌گیری می‌شود. این روش‌ها اگرچه دقیق هستند، ولی دارای معایبی از جمله هزینه بالا و صرف زمان بسیار طولانی می‌باشند و فقط در تعداد محدودی از چاه‌ها انجام می‌پذیرد. در اکثر چاه‌های میدان موردن مطالعه، نگاربرداری انجام گردید. محاسبه‌ی تخلخل و تراوایی با استفاده از روش شبکه‌ی عصبی مصنوعی پس انتشار خط (BP-ANN) و به کمک داده‌های لاغ محاسبه گردید. پس از تخمین این پارامترها با استفاده از روش مجموع مربعات خط (SSE) و آنالیز خوش‌های K-means، مخزن آسماری در سه چاه مورد مطالعه به ۹ واحد جریان هیدرولیکی تقسیم گردید. تقسیم بندی مخزن به واحدهای جریانی سبب بهبود رابطه تخلخل و تراوایی شد. نتایج نشان داد که شبکه‌ی عصبی در پیش‌بینی پارامترهای مخزنی موفق عمل نموده است.

**واژه‌های کلیدی:** آنالیز خوش‌های K-means، چاه‌آزمایی، روش مجموع مربعات خط (SSE)، مخزن، مدل‌های پتروفیزیکی.

نفت و گاز، برای مدل‌سازی و پیش‌بینی خواص مخزن از تکنیک‌های

### - مقدمه

توصیف مخزن از مهم‌ترین مباحث در مهندسی نفت است (Aitken et al. 2004). برنامه لازم برای یک مدیریت مؤثر بعد از به دست آوردن تصویری دقیق از ویژگی‌های سنگ مخزن به دست می‌آید (Honarpour et al. 2006, Haro 2009). امروزه در صنعت

را با استفاده از نگارهای ان ام آر (NMR) در میدان گازی پارس جنوبی تخمین زدند.

امینیان و همکاران (Aminian & Ameri 2005) با انتخاب یک مخزن نفت در حوضه آپالاش، با رسم نمودار تخلخل و تراوایی در مقابل عمق، واحدهای جریانی را در این مخزن شناسایی نمودند. سویرسکی و همکاران (Svirsky et al. 2004) در بررسی یک میدان در سیبری، نشان دادند که واحدهای جریان هیدرولیکی خاص، به ساختمانهای رسوبی خاصی مربوط می‌باشدند. به طورکلی تلاش‌های زیادی در زمینه‌ی پیش‌بینی پارامترهای فیزیکی سنگ مخزن با استفاده از سیستم‌های هوشمند انجام شده است.

## ۲- موقعیت جغرافیایی منطقه

میدان نفتی مارون به طول تقریبی ۶۷ کیلومتر و عرض متوسط ۷ کیلومتر، در جنوب شرقی میدان نفتی اهواز واقع شده است. این میدان یکی از بزرگ‌ترین میدان‌نفتی ایران می‌باشد که در محور مرکزی بزرگ ناویدس آسماری واقع در فروافتادگی درزفول قرار دارد (تصویر ۱). از دیدگاه زمین‌شناسی، این مخزن در ردیف نفت‌گیرهای ساختمانی است که به صورت طاقدیسی تقریباً متقاضان با راستای شمال‌غرب-جنوب‌شرق و در امتداد میدان‌های مجاور مانند اهواز، کوپال، آگاجاری و... قرار گرفته و عموماً هم‌راستای چین‌خوردگی اصلی زاگرس است. در این پژوهش، مخزن آسماری به ۸ قطعه‌ی مخزنی و ۵ تناوب رسوبی تقسیم گردید (قلی پور و حقی ۱۳۶۹).

از تمامی چاههای موجود در یک میدان نمودارگیری صورت می‌گیرد.

نمودارهای چاه‌پیمایی یکی از با ارزش‌ترین منابع اطلاعاتی در پژوهش‌های مهندسی نفت می‌باشند. بنابراین، برای تعیین محل بهینه چاههای تولیدی و توسعه‌ای در یک میدان، استفاده از روش‌هایی که قادر به تخمین تراوایی از روی داده‌های پتروفیزیکی موجود باشند بسیار حائز اهمیت خواهد بود (Kumar et al. 2000).

هدف این مطالعه که بر روی میدان نفتی مارون انجام شد. استفاده از روش کاربردی شبکه‌ی عصبی برای پیش‌بینی و تخمین تراوایی و تخلخل مؤثر با استفاده از داده‌های آنالیز مغزه و نگار در چاههای فاقد مغزه می‌باشد. این روش از دقت بالاتری نسبت به روش‌های تجربی رایج برخوردار است. هم‌چنین با استفاده از مجموع مربعات خطأ در محیط نرم‌افزار مطلب (Matlab)، واحدهای جریان هیدرولیکی در مخزن تعیین می‌گردد. توصیف مخزن، به دلیل توانایی در تشخیص پارامترهای اساسی زمین‌شناسی و پتروفیزیکی مؤثر در حرکت سیال حائز اهمیت است.

اولین بار داوتون و پرنسکی (Doveton & Prensky 1992) و هم‌چنین بالان و همکاران (Balan et al. 1995) از سیستم‌های عصبی، در تعیین خصوصیات فیزیکی مخزن استفاده نمودند. محقق و همکاران (Mohaghegh et al. 1995) نیز توانستند با استفاده از شبکه‌ی عصبی و بر اساس تخلخل و اشباع آب، میزان تراوایی را محاسبه نمایند. همچنین لبانی و همکاران (Labani et al. 2010) به کمک یک ماشین مجتمع و روش‌های هوشمند، تخلخل مفید و تراوایی



تصویر ۱- موقعیت میدان نفتی مارون در بین سایر میدان‌نفتی فروافتادگی درزفول (قلی پور و حقی ۱۳۶۹).

دلخواه را تولید نماید. بدنه‌ی این سلول از دو بخش تشکیل شده است.

بخش اول تابع ترکیب نام دارد که تمام ورودی‌ها را جمع می‌کند و نتیجه را به صورت یک مجموع وزن‌دار نشان می‌دهد.

بخش دوم، تابع انتقال یا تابع تحریک است. این تابع، فرآیند تحریک در یک نرون را کنترل نموده و خروجی یک نرون را از نظر فعال یا غیرفعال بودن بررسی می‌نماید. معمولاً فعال بودن خروجی یک نرون به مثبت یا منفی بودن ورودی تابع تحریک وابسته است. ورودی تابع تحریک همان خروجی تابع تحریک است (کمالی ۱۳۸۹). تابع انتقال انواع مختلفی دارند که برخی از آن‌ها عبارتند از: تابع انتقال Logsig و Pureline Tansig.

الگوریتم‌های آموزش به دو دسته‌ی نظارتی و غیرنظارتی تقسیم‌بندی می‌شوند. الگوریتم پس انتشار خطای یک نوع شبکه عصبی با ناظر است که از قانون تصحیح خطای عنوان یک قانون یادگیری قادرترند استفاده می‌کند (Rolon 2004) و در طی آن، ورودی‌ها وارد شبکه می‌شوند. در صورتی که خروجی مطلوب به دست آید، خطای محاسبه شده به صورت پسرو در شبکه منتشر می‌شود تا وزن‌ها با توجه به آن تعدیل شوند. زمانی که خروجی محاسبه شده با خروجی واقعی تطابق خوبی داشته باشد، آموزش متوقف می‌شود (Bhatt & Helle 1999).

#### ۴- طبقه‌بندی سنگ‌ها بر مبنای واحدهای جریان هیدرولیکی

واحدهای جریان هیدرولیکی روشی برای طبقه‌بندی نوع سنگ‌ها و پیش‌بینی خواص جریانی بر مبنای پارامترهای زمین‌شناسی و فیزیک جریان در مقیاس منفذ و حفرات است. این واحدها براساس موقعیت و خصوصیات زمین‌شناسی در توالی عمودی و خصوصیات پتروفیزیکی (به ویژه تخلخل و تراوایی) تعریف شده‌اند. عمدترين پارامترهایی که جریان سیال را تحت تأثیر قرار می‌دهند شامل نوع، فراوانی و محل قرارگیری کانی‌ها، بافت سنگ‌ها، اندازه و شکل دانه، جورشدنگی و فشردنگی می‌باشند (الهی ۱۳۸۹). کوزنی (Kozeny 1927) و کارمن (Carmen 1937) برای یافتن ارتباطی مناسب بین تخلخل و تراوایی، محیط متخلف را به صورت مجموعه‌ای از لوله‌های مویینه مدل‌سازی کردند. آن‌ها با ترکیب قانون دارسی (Darsi 1856) برای حرکت سیال در محیط متخلف و قانون پویزله برای حرکت سیال در لوله‌ها، رابطه‌ای بین تخلخل و تراوایی را ارائه نمودند (رابطه ۱). فاکتوری به نام عامل پیچایچی نیز به رابطه اضافه شده است، زیرا در یک مدل واقعی لوله‌های مویینه مستقیم نبوده و دارای خمیدگی‌های متفاوتی هستند.

$$K = \frac{\phi_e^3}{(1 - \phi_e)^2} \times \frac{1}{F_s \tau^2 S_{gv}^2} \quad (1)$$

رابطه ۱

#### ۳- شبکه‌های عصبی مصنوعی

شبکه‌های عصبی مصنوعی براساس شبکه‌ی عصبی بیولوژیکی به وجود آمده‌اند. کارکرد این شبکه شبیه عملکرد مغز انسان می‌باشد و یکی از خصوصیات جالب آن‌ها توانایی یادگیری است. این روش یک ابزار محاسباتی در حل مسائل مبهم و پیچیده می‌باشد که با استفاده از روش‌های ریاضی مانند معادلات دیفرانسیلی یا رگرسیون‌های خطی، قابل حل نمی‌باشند. به طور کلی شبکه‌های عصبی مصنوعی ای‌ان‌ان (Artificial Neural Networks, ANN) مدل‌های پردازش اطلاعاتی توزیعی و موازی هستند که قادرند الگوهای خیلی پیچیده اطلاعات موجود را تشخیص دهند (Balan et al. 1995).

استفاده از شبکه‌های عصبی مصنوعی به دلیل داردن ویژگی‌های زیر، برای تخمین پارامترهای مخزنی بسیار مفید می‌باشد.

- شبکه‌های عصبی به شدت موازی هستند، بنابراین کارایی بسیار بالایی دارند.

- شبکه‌های عصبی می‌توانند به وسیله سعی و خطای شرایط پیش‌بینی شده را از سایر شرایط تشخیص دهند.

- شبکه‌های عصبی می‌توانند تعداد زیادی ورودی را پردازش کرده و ارتباط میان آن‌ها را مشخص نمایند (Aminzade & de Groot 2006). ساختار شبکه‌ی عصبی را، تعداد لایه‌ها، تابع تبدیل هر لایه، تعداد نرون‌ها در هر لایه و اتصالات بین نرون‌ها مشخص می‌کند. نرون‌ها در قالب لایه‌ها سازماندهی می‌شوند و هر لایه مسئول یک کار خاص می‌باشد. لایه‌ی ورودی، اطلاعات را از محیط دریافت کرده و آن‌ها را به لایه‌ی میانی انتقال می‌دهد. لایه‌ی میانی یا پنهان، اطلاعات وارد شده از محیط به شبکه‌ی عصبی را پردازش و تجزیه و تحلیل می‌کند. لایه‌ی خروجی نیز نتایج اطلاعات لایه‌ی میانی را دریافت کرده و آن را به شکل معنی‌داری تبدیل کرده و دوباره به محیط انتقال می‌دهد (آخوندی و همکاران ۱۳۸۸). تعداد نرون‌ها در لایه ورودی در نظر گرفته شده‌اند. برای تعداد متغیرهایی است که به عنوان ورودی در نظر گرفته شده‌اند. برای تعیین نرون‌های لایه‌ی میانی قانون خاصی وجود ندارد. هر چه تعداد نرون‌های لایه‌ی میانی بیشتر باشد قابلیت شبکه برای تشخیص الگو نیز بیشتر خواهد شد. این توانایی باعث ایجاد یک مشکل اساسی با عنوان مشکل بیش پردازش (Overfitting) می‌شود. که در آن شبکه هر یک از مثالهای آموزش را به خاطر می‌سپارد. برای اجتناب از این مشکل، بهتر است لایه‌ی میانی تا حد امکان سلول‌های زیادی نداشته باشد (Lim 2005).

یک شبکه‌ی عصبی، علاوه بر لایه دارای واحدهایی به نام سلول عصبی یا نرون نیز می‌باشد. همچنین شبکه این قابلیت را دارد که با به کاربردن یک دسته داده‌ی ورودی بتواند یک دسته داده‌ی خروجی

در این روابط تراوایی بر حسب میلی دارسی است و عدد ثابت ۰/۰۳۱۴ برای تبدیل از میکرومتر مربع به میلی دارسی می‌باشد. (Soto et al. 2001)

با توجه به رابطه‌ی (۳)، (۴) و (۵) رابطه‌ی (۶) را می‌توان به صورت زیر نوشت.

$$\text{RQI} = Q_z \times FZI \quad (6)$$

در این رابطه، با کلاس‌بندی مقادیر FZI تعداد واحدهای جریان هیدرولیکی تعیین می‌شود.

## ۵- بحث و نتایج

معمولًا برای تعیین میزان صحت و قدرت تعمیم‌یافتنگی یک شبکه‌ی عصبی، داده‌های مورد استفاده در طراحی شبکه به سه دسته‌ی داده‌های آموختش، داده‌های تست و داده‌های اعتبارسنجی تقسیم می‌شوند. این مطالعه در ۳ چاه میدان نفتی مارون (۲۸۱، ۲۹۲ و ۲۹۶) و (۲۹۶) انجام شد. پس از انجام مراحل آماده‌سازی نمونه‌ها (شامل حذف داده‌های ناقص و خارج از بازه‌ی مورد نظر، یکسان‌سازی عمق داده‌های نگار و معزه و انتخاب داده‌ها بر اساس عمق جدید)، تعداد ۲۷۷ داده در چاه ۲۸۱، ۳۰۰ داده در چاه ۲۹۲ و ۳۶۴ داده در چاه ۲۹۶ به دست آمد. در هر مرحله، طراحی شبکه یک چاه به عنوان آموختش و دو چاه دیگر به عنوان آزمایش در نظر گرفته شد که نتایج آن در جدول ۱ و ۲ ارائه شده است.

در رابطه‌ی (۱)، (۲) عامل پیچایچی،  $K$ ، تراوایی بر حسب میکرومتر مربع و  $\phi_e$  به صورت کسری بیان می‌شود.  $F_S$  فاکتور شکل بوده و مقدار آن برای لوله‌های مویینه با مقطع دایره برابر ۲ است.  $F_{ST}$  ثابت کوزنی می‌باشد. این رابطه، تابعی از خصوصیات زمین‌شناسی محیط متخلخل و تغییرات هندسه حفرات است و می‌توان از آن به عنوان معیاری برای تمايز واحدهای جریان هیدرولیکی از یکدیگر استفاده کرد. آمیغول و همکاران (Amaefule et al. 1993) با اضافه کردن مفهوم شاخص منطقه‌ای جریان معادله کوزنی و کارمن را تغییر داده و با تقسیم رابطه‌ی (۱) بر  $\phi_e$ ، رابطه (۲) را ارائه نمودند.

$$0/0314 \sqrt{\frac{K}{\phi_e}} = \left[ \frac{\phi_e}{1-\phi_e} \right] \frac{1}{\sqrt{F_S \tau^2 S_{gv}^2}} \quad (2)$$

براساس رابطه (۲)، می‌توان شاخص کیفیت مخزن (RQI)، شاخص منطقه جریان (FZI) و تخلخل نرمالیزه شده (Qz) را به صورت روابط (۳)، (۴) و (۵) تعریف کرد (Orodu et al. 2009).

$$RQI = 0.0314 \sqrt{\frac{K}{\phi_e}} \quad (3)$$

$$FZI = \frac{1}{\sqrt{F_S \tau^2 S_{gv}^2}} \quad (4)$$

$$\phi_z = \frac{\phi_e}{1 - \phi_e} \quad (5)$$

جدول ۱- مقادیر ضربی همبستگی (R) و میانگین مربعات خطأ (MSE) جهت تخمین تخلخل در سه چاه مورد مطالعه.

چاه آموزش	چاه آزمایش	ضربی همبستگی (R)	میانگین مربعات خطأ (MSE)
۲۸۱	۲۹۲	۰/۹۳	۰/۰۰۷۴
۲۸۱	۲۹۶	۰/۹۲	۰/۰۰۵۱
۲۹۶	۲۸۱	۰/۸۳	۰/۰۱۲۸
۲۹۶	۲۹۲	۰/۹۴	۰/۰۰۵۸
۲۹۲	۲۸۱	۰/۸۳	۰/۰۱۴۱
۲۹۲	۲۹۶	۰/۹۳	۰/۰۰۴۷

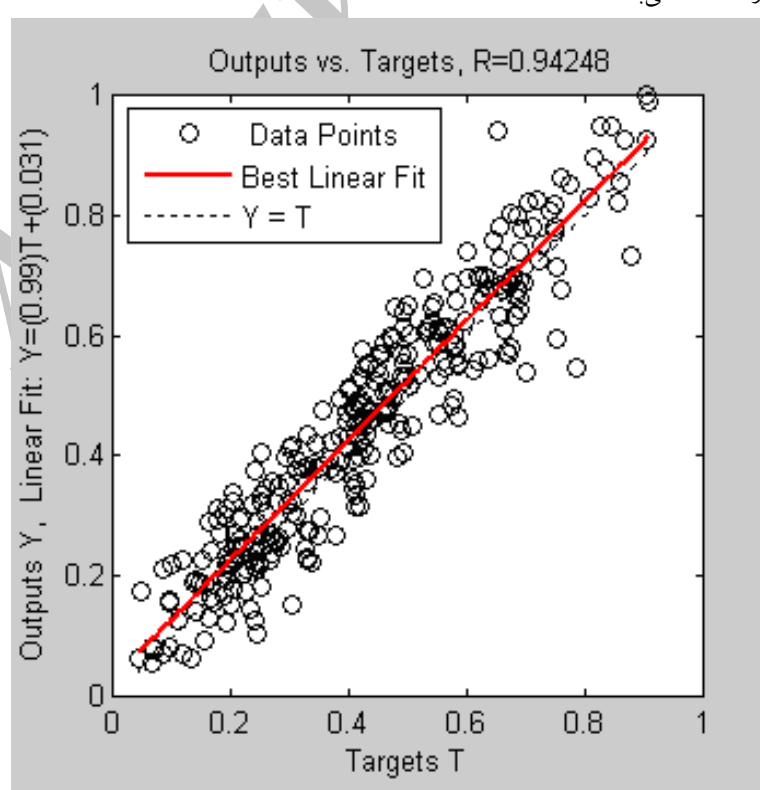
جدول ۲- مقادیر ضریب همبستگی (R) و میانگین مربعات خطأ (MSE) جهت تخمین تراوایی در سه چاه مورد مطالعه.

میانگین مربعات خطأ (MSE)	چاه آزمایش	ضریب همبستگی (R)	۲۸۱
۰/۰۰۳۵		۰/۸۲	۲۹۲
۰/۰۰۳۱		۰/۸۳	۲۸۱
۰/۰۰۳۸		۰/۸۵	۲۹۶
۰/۰۰۴۹		۰/۸۵	۲۹۶
۰/۰۰۴۹		۰/۸۲	۲۹۲
۰/۰۰۳۴		۰/۸۳	۲۹۲

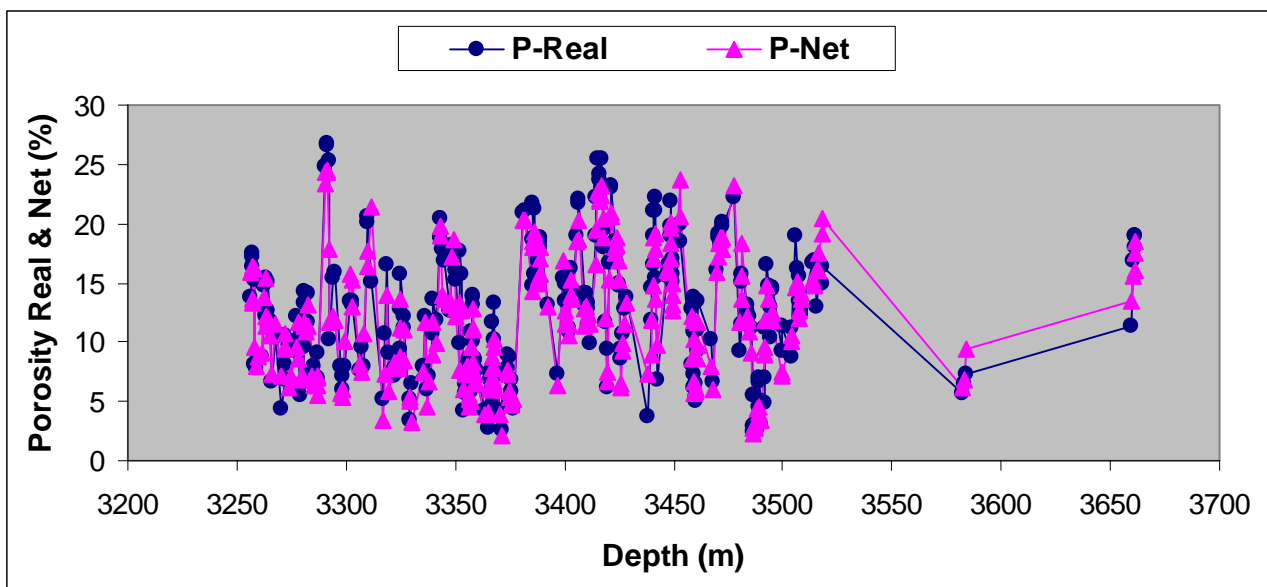
براساس تصاویر ۴ و ۵، ضریب همبستگی به دست آمده در این تخمین  $0/85$  بوده و داده‌ها کاملاً بر هم منطبق می‌باشند که نشان‌دهنده موفقیت شبکه در تخمین تراوایی است.

پس از تخمین تراوایی و تخلخل مؤثر، با استفاده از داده‌های تراوایی مطلق‌ها و تخلخل اندازه‌گیری شده مغزه در آزمایشگاه، مقادیر  $Z$ ,  $\Phi$ , FZI و RQI توسط روابط (۳)، (۴) و (۵) محاسبه شدند. در ادامه، برای هر نمونه، با استفاده از مقادیر FZI، روش آنالیز خوش‌های و مجموع مربعات خطأ، واحدهای جریان هیدرولیکی مخزن مورد مطالعه تعیین گردید.

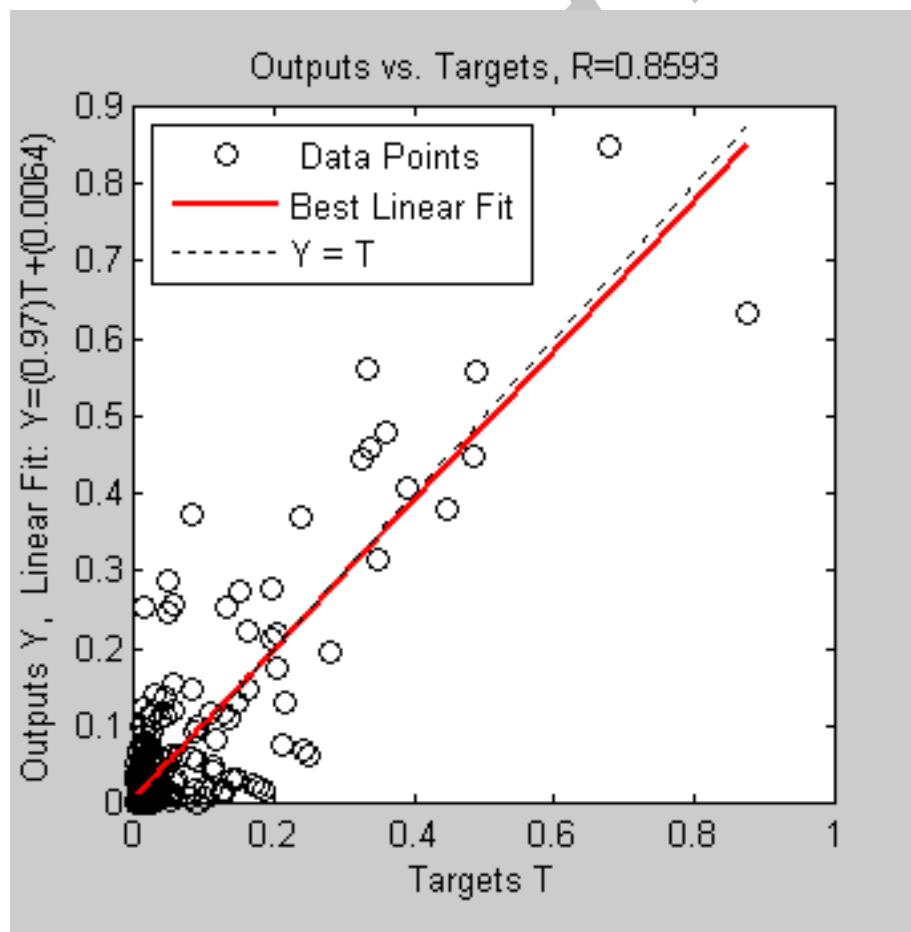
براساس نتایج جداول ۱ و ۲، بهترین شبکه تهیه شده برای تخمین تخلخل و تراوایی با داده‌های موجود، مربوط به چاه ۲۹۶ به عنوان داده‌های آموزش و چاه ۲۹۲ برای داده‌های آزمایش است. براساس تصویر ۲، ضریب همبستگی به دست آمده برای تخمین تخلخل مؤثر توسط شبکه برابر با  $0/94$  می‌باشد. شبیه ۴۵ درجه، تجمع داده‌ها در نزدیک خط و همچنین عرض از مبدأ نزدیک به صفر در تصویر ۲ تأیید کننده صحت تخمین است. در تصویر ۳ نیز داده‌های واقعی تخلخل مؤثر در مقابل داده‌های تخمین زده شده توسط شبکه رسو شدند. انطباق این داده‌ها نیز نشان‌دهنده موفقیت شبکه در تخمین این پارامتر پتروفیزیکی در مخزن مورد مطالعه می‌باشد.



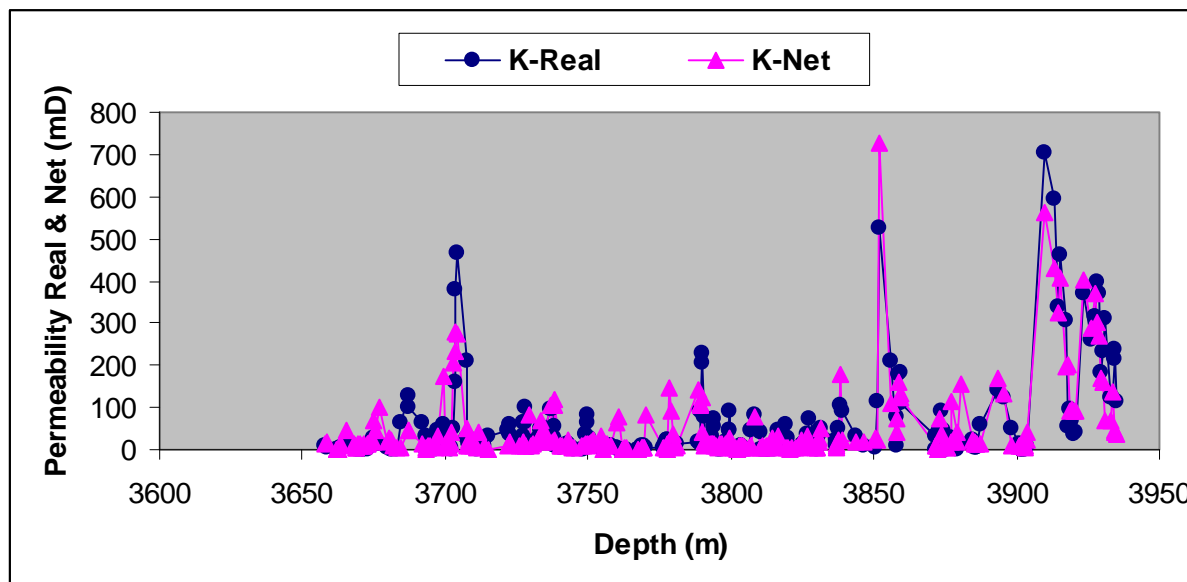
تصویر ۲- ضریب همبستگی بین تخلخل واقعی و تخلخل تخمین‌زده شده به وسیله‌ی شبکه.



تصویر ۳- نمودار مقادیر تخلخل واقعی در مقابل تخلخل تخمین‌زده شده به‌وسیله‌ی شبکه.



تصویر ۴- ضریب همبستگی بین تراوایی واقعی و تراوایی تخمین‌زده شده به‌وسیله‌ی شبکه.



تصویر ۵- نمودار مقادیر تراوایی واقعی در مقابل تراوایی تخمین‌زده شده به‌وسیله‌ی شبکه.

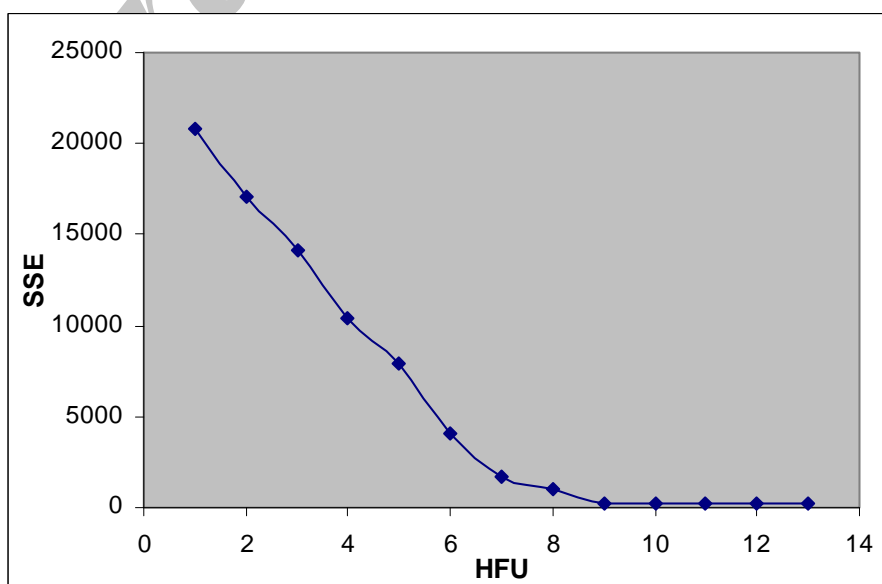
واحدهای جریان هیدرولیکی، مقدار مجموع مربع خطاهای کاهش یافته،

اما از یک مقداری به بعد تغییرات در مجموع مربع خطاهای محسوس نبوده و قابل صرف‌نظر کردن است. این مقدار همان تعداد واحدهای جریان هیدرولیکی بهینه است. براساس نمودارهای بهدست آمده، مخزن در سه چاه مورد مطالعه، به ۹ واحد جریان هیدرولیکی تقسیم گردید.

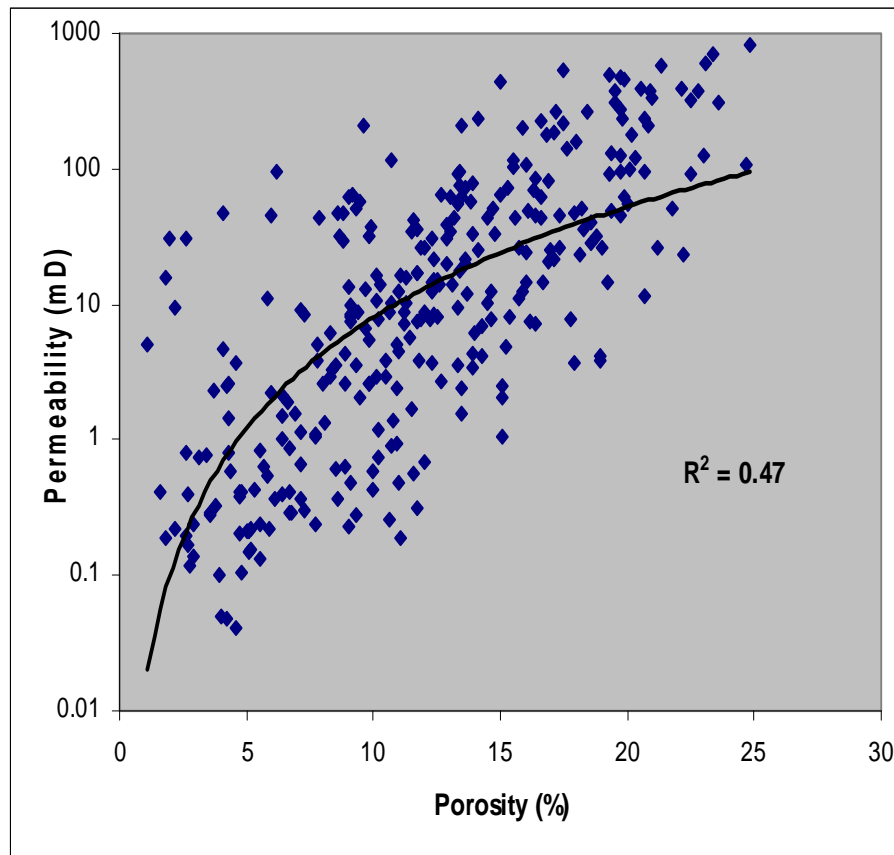
در تصویر ۶ نمودار مجموع مربعات خطأ در مقابل تعداد واحدهای جریان هیدرولیکی مربوط به چاه ۲۸۱ ارائه شده است. در ادامه، نمودار تخلخل در مقابل تراوایی را برای کل نمونه‌ها در چاه ۲۸۱ رسم شد (تصویر ۷).

### ۱-۵- مجموع مربعات خطأ

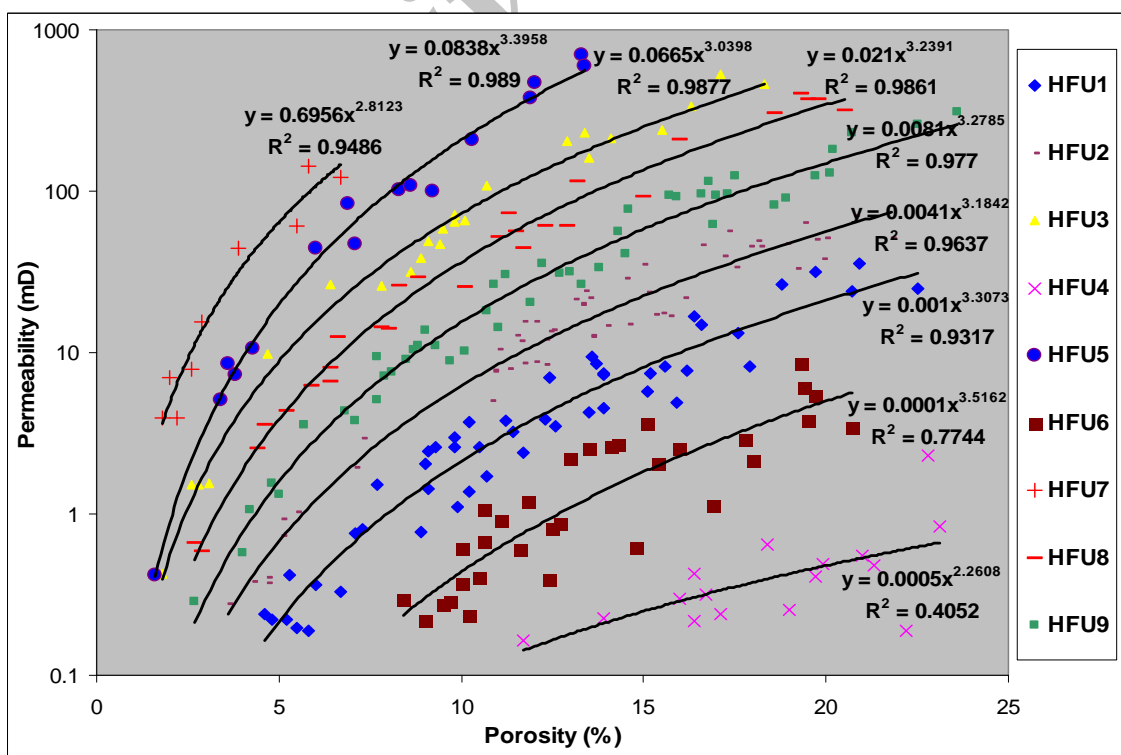
تعیین تعداد واحدهای جریان هیدرولیکی با استفاده از آنالیز هیستوگرام و آنالیز احتمال نرمال تابع کاربر می‌باشد و احتمال ایجاد خطأ در محاسبات زیاد است. بنابراین، برای کاهش خطأ، از پارامتر مجموع مربع خطاهای اس‌اس‌ای (Error Sum of Square, SSE) استفاده گردید. روش کار بدین صورت است که ابتدا تعداد دسته‌ها را برابر یک فرض کرده و آنالیز خوش‌های K-means را توسط نرم افزار MATLAB انجام می‌دهیم. این آنالیز برای گروههای دیگر نیز انجام شد و در نهایت نموداری از مجموع مربع خطاهای در مقابل تعداد دسته‌ها رسم گردید (تصویر ۵). براساس تصویر ۵، با افزایش تعداد



تصویر ۶- نمودار مجموع مربعات خطأ در مقابل تعداد واحدهای جریان هیدرولیکی مربوط به چاه ۲۸۱.



تصویر ۷ - نمودار تراوایی در مقابل تخلخل برای کل نمونه‌ها در چاه ۲۸۱.



تصویر ۸- توزیع داده‌های تراوایی در مقابل تخلخل برای ۹ واحد جریان هیدرولیکی مربوط به چاه ۲۸۱.

## ۶- نتیجه‌گیری

- Aitken, C. M., Jones, D. M. & Larter, S. R., 2004,** "Anaerobic hydrocarbon biodegradation in deep subsurface oil reservoirs", *Nature*, Vol. 431: 291-294.
- Amaefule, J. O., Altunbay, M., Tiab, D., Kersey, D. G. & Keelan, D. K., 1993,** "Enhanced reservoir description: Using core and log data to identify hydraulic (flow) unites and predict permeability in uncored intervals/wells", *SPE Annual Technical Conference and Exhibition*, 3-6 October, Houston, Texas, 26436-MS, 16 pp.
- Aminian, K. & S. Ameri, 2005,** "Application of artificial neural networks for reservoir characterization with limited data", *Journal of Petroleum Science and Engineering*, Vol. 49 (3-4): 212-222.
- Aminzade, F. & de Groot, P., 2006,** "Neural networks and other soft computing techniques with application in the oil industry", *EAGE Publications*, 129 pp.
- Balan, B., Mohaghegh, S. & Ameri, S., 1995,** "State – art permeability determination from well log data: Part 1-a comprehensive study, model development", *SPE 30978*, 10 pp.
- Bhatt, A. & Helle, H. B., 1999,** "Porosity, permeability and TOC prediction from well logs using a neural network approach", *EAGE, Norway*: 1-4.
- Carmen, P.C., 1937,** "Fluid flow through granular beds", *Transactions of the Institution of Chemical Engineers*, Vol. 15: 150-166.
- Darcy, H., 1856,** "Les Fontaines Publiques de la Ville de Dijon", *Dalmont, Paris*, 647 pp.
- Doveton, J. H. & Prensky, S. E., 1992,** "Geological applications of wireline logs: a synopsis of developments and trends", *The Log Analyst*, Vol. 33 (3): 286-303.
- Haro, C. F., 2009,** "The equations archie forgot: anisotropy of the rocks", *SPE Annual Technical Conference and Exhibition held in New Orleans, Louisiana, USA*, 4-7 October: 823-836.
- Honarpour, M. M., Nagarajan, N. R. & Sampath, K., 2006,** "Rock/fluid characterization and their integration-implications on reservoir management", *Journal of Petroleum Technology*, Vol. 58 (9): 120-130.
- Kozeny J., 1927,** "Über kapillareleitung des wassers im boden stiuzurgsberichte", *Royal Academy of Science, Vienna, Proc. Class1*. Vol. 136: 271-306.
- Kumar, N., Hughes, N. & Scott, M., 2000,** "Using well logs to infer permeability", *Center for Applied Petro physical Studies, Texas Tech University*.
- Mohaghegh, S., Ameri, S. & Aminian, K., 1995,** "A methodological approach for reservoir heterogeneity characterization using artificial neural networks", *J. Pet. Sci. Eng*, Vol. (16): 263-274.
- Labani, M. M., Kadkhodaie-Ikhchi, A. & Salahshoor, K., 2010,** "Estimation of NMR log parameters from conventional well log data using a committee machine with intelligent systems: A Case study from the Iranian part of the South Pars gas field, Persian Gulf Basin". *Journal of Petroleum Science and engineering*, Vol. 72: 175-185.
- Lim, J. S., 2005,** "Reservoir properties determination using fuzzy logic and neural network from well data in offshore Korea", *Journal of Petroleum Science and Engineering*, Vol. 49: 182-192.
- نتایج نشان داد که شبکه‌ی عصبی مصنوعی روشی مفید برای محاسبه‌ی تراوایی و تخلخل مؤثر می‌باشد. در صورتی که اطلاعات کافی و قابل نمایش برای آموزش ANN به کار برده شود، می‌توان کیفیت مخزنی را در ایتروالهای مغزه‌گیری نشده و یا در سایر چاههای میدان که فاقد مغزه می‌باشند نیز پیش‌بینی کرد. اگرچه دقت تخمین تراوایی نسبت به آزمایشگاه و روش چاه‌آزمایی کمتر است، اما با استفاده از روش شبکه‌ی عصبی می‌توان زون‌های تراوا را تشخیص داد. این روش کاملاً از نظر هزینه و زمان به صرفه می‌باشد. استفاده از روش تعیین واحدهای از جریان هیدرولیکی با استفاده از روش مجموع مرباعات خطأ و آنالیز Kmeans و نمودارهای به دست آمده در چاه مورد نظر در میدان نفتی مارون نشان داد که طبقه‌بندی سنگ‌های مخزن بر اساس شاخص‌های زمین‌شناسی سنگ مرتبط با جریان (FZI)، روشی مناسب و قابل اطمینان جهت ارزیابی کیفیت مخزن با استفاده از رابطه‌ی تراوایی – تخلخل می‌باشد.
- ## تشکر و قدردانی
- در پایان نویسندها مقاله از مدیریت پژوهش شرکت ملی مناطق نفت خیز جنوب به جهت تأمین اطلاعات مورد نیاز این مقاله تشکر و قدردانی می‌نمایند. هم‌چنین از زحمات خانم‌ها بهاره الهی (بخش‌های واحدهای از جریان هیدرولیکی) و سمية قنادزاده (بخش شبکه‌ی عصبی تقدیر و تشکر می‌گردد.
- ## مراجع
- آخوندی، ح.، کمالی، م.، کدخدائی، ع. و راهداری، م.، ۱۳۸۸، "توصیف هوشمند پارامترهای پتروفیزیکی مخزن آسماری، میدان نفتی اهواز"، *فصلنامه زمین‌شناسی کاربردی*، دانشگاه آزاد اسلامی واحد زاهدان، سال ۵ (۳): ۱۶۷-۱۷۵.
- الهی، ب.، ۱۳۸۹، "تراوایی معادل مایع با استفاده از تراوایی مطلق هوا در سنگ‌های کربناته‌ی میدان پارس جنوبی"، *پایان‌نامه‌ی کارشناسی ارشد*، رشته زمین‌شناسی نفت، دانشگاه آزاد اسلامی واحد علوم و تحقیقات تهران، ۹۰ ص.
- قلی‌پور، ع. و حقی، ع.، ۱۳۶۹، "مطالعه‌ی جامع سازند آسماری میدان مارون"، *گزارش شماره پ - ۴۲۰*، شرکت ملی مناطق نفت خیز جنوب، ۶۱ ص.
- کشتکار، م.، لطف‌پور، م.، معلمی، س. ع. و باقری، ع. م.، ۱۳۸۸، "تخمین گونه‌های سنگی، رخساره‌های سنگی و تراوایی در یکی از میدان‌گازی فارس ساحلی با استفاده از مدل‌سازی فازی"، *فصلنامه زمین‌شناسی کاربردی*، دانشگاه آزاد اسلامی واحد زاهدان، سال ۵ (۴): ۳۱۷-۳۱۱.
- کمالی، م. ر.، ۱۳۸۹، "کاربرد روش‌های هوشمند در مهندسی نفت و علوم زمین"، *انشرات پژوهشگاه صنعت نفت*، ۱۳۰ ص.

**Orodu, O. D., Tang, Z. & Fei, Q., 2009**, "Hydraulic (flow) unit determination and permeability prediction: A case study of block Shen-95, Liaohe oilfield, north-east China", *Journal of Applied Sciences*, Vol. 9 (10): 1801-1816.

**Rolon, L., 2004**, "Developing intelligent synthetic logs: Application to upper devonian units in PA", *M.Sc thesis, West Virginia University, Morgantown, West Virginia, 123 pp.*

**Soto, B. R., Garcia, J. C., Torres, F. & Pérez, G. S., 2001**, "Permeability prediction using hydraulic flow units and hybrid soft computing systems", *SPE 71455, 1-10.*

**Svirsky, D., Ryazanov, A., Pankov, M., Yukos, E. P. & Corbett, P. W. M., 2004**, "Hydraulic flow units resolve reservoir description challenges in a Siberian oil field", *International Journal of Society of Petroleum Engineers, 1-15.*

**Tiab, D. & Donaldson, E. C., 2004**, "Petro physics theory and practice of measuring reservoir rock and fluid transport properties", *Gulf publishing company Houston, Texas, 889 pp.*